

Distancia de separación de puntos aleatorios en la esfera

Jornada del Seminario de Probabilidad y Estadística (JoSePE)

Matías Valdés

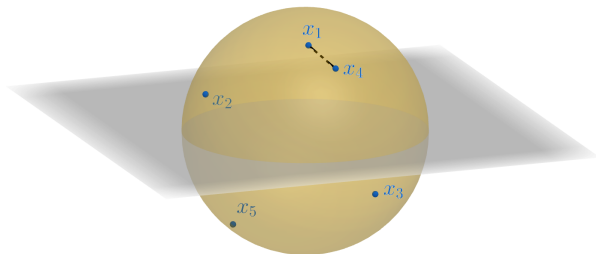
01/07/23

Distancia de separación

Definition

Sea $X_n = \{x_1, \dots, x_n\}$ conjunto de n puntos en la esfera $S^2 \subset \mathbb{R}^3$. La distancia de separación del conjunto, es la menor distancia entre todos los pares de puntos:

$$\text{sep}(X_n) := \min_{i \neq j} \{\|x_i - x_j\|_2\}.$$



Objetivos de la charla

- Analizar la distancia de separación de los siguientes conjuntos de puntos aleatorios en la esfera S^2 :
 - Distribución Uniforme
 - Spherical ensemble (conjunto esférico)
 - Ceros de polinomios elípticos

Objetivos de la charla

- Analizar la distancia de separación de los siguientes conjuntos de puntos aleatorios en la esfera S^2 :
 - Distribución Uniforme
 - Spherical ensemble (conjunto esférico)
 - Ceros de polinomios elípticos
- Como los puntos son aleatorios, la distancia de separación asociada a estos es una variable aleatoria.

Objetivos de la charla

- Analizar la distancia de separación de los siguientes conjuntos de puntos aleatorios en la esfera S^2 :
 - Distribución Uniforme
 - Spherical ensemble (conjunto esférico)
 - Ceros de polinomios elípticos
- Como los puntos son aleatorios, la distancia de separación asociada a estos es una variable aleatoria.
- Interesa en particular su distribución (asintótica en $n \rightarrow \infty$), y sus primeros momentos (esperanza y varianza).

Objetivos de la charla

- Analizar la distancia de separación de los siguientes conjuntos de puntos aleatorios en la esfera S^2 :
 - Distribución Uniforme
 - Spherical ensemble (conjunto esférico)
 - Ceros de polinomios elípticos
- Como los puntos son aleatorios, la distancia de separación asociada a estos es una variable aleatoria.
- Interesa en particular su distribución (asintótica en $n \rightarrow \infty$), y sus primeros momentos (esperanza y varianza).
- Cronograma:
 - presentar los resultados conocidos
 - dar una idea de las herramientas utilizadas en las pruebas
 - presentar posibles líneas de trabajo

Separación óptima

- Como la esfera es acotada, si hacemos crecer la cantidad de puntos n , la distancia de separación debe tender a cero.

Separación óptima

- Como la esfera es acotada, si hacemos crecer la cantidad de puntos n , la distancia de separación debe tender a cero.
- Queremos que tienda a cero “lentamente”.

Separación óptima

- Como la esfera es acotada, si hacemos crecer la cantidad de puntos n , la distancia de separación debe tender a cero.
- Queremos que tienda a cero “lentamente”.
- ¿Qué es lo mejor que se puede lograr? (lo más lento)

Separación óptima

- Como la esfera es acotada, si hacemos crecer la cantidad de puntos n , la distancia de separación debe tender a cero.
- Queremos que tienda a cero “lentamente”.
- ¿Qué es lo mejor que se puede lograr? (lo más lento)

Definition (Problema de Tammes)

Consiste en buscar una configuración (determinística) de n puntos en $S^2 \subset \mathbb{R}^3$, con distancia de separación asociada máxima:

$$\max_{\{x_1, \dots, x_n\} \subset S^2} \left\{ \min_{i \neq j} \|x_i - x_j\|_2 \right\}.$$

Separación óptima

- No se conoce algoritmo eficiente para resolver Tammes.

Separación óptima

- No se conoce algoritmo eficiente para resolver Tammes.
- Sin embargo, el valor óptimo asintótico, asociado a una solución X_n^* , cumple: (Habicht y Van der Waerden 1951):

$$\text{sep}(X_n^*) = \frac{C}{n^{1/2}} + O\left(\frac{1}{n^{2/3}}\right), \quad C = \sqrt{\frac{8\pi}{\sqrt{3}}} \simeq 3.8093 \quad (n \rightarrow \infty).$$

Separación óptima

- No se conoce algoritmo eficiente para resolver Tammes.
- Sin embargo, el valor óptimo asintótico, asociado a una solución X_n^* , cumple: (Habicht y Van der Waerden 1951):

$$\text{sep}(X_n^*) = \frac{C}{n^{1/2}} + O\left(\frac{1}{n^{2/3}}\right), \quad C = \sqrt{\frac{8\pi}{\sqrt{3}}} \simeq 3.8093 \quad (n \rightarrow \infty).$$

- Es decir: en el mejor caso, la distancia de separación tiende a cero como $\frac{1}{n^{1/2}}$, cuando $n \rightarrow \infty$. Esto motiva la siguiente

Separación óptima

- No se conoce algoritmo eficiente para resolver Tammes.
- Sin embargo, el valor óptimo asintótico, asociado a una solución X_n^* , cumple: (Habicht y Van der Waerden 1951):

$$sep(X_n^*) = \frac{C}{n^{1/2}} + O\left(\frac{1}{n^{2/3}}\right), \quad C = \sqrt{\frac{8\pi}{\sqrt{3}}} \simeq 3.8093 \quad (n \rightarrow \infty).$$

- Es decir: en el mejor caso, la distancia de separación tiende a cero como $\frac{1}{n^{1/2}}$, cuando $n \rightarrow \infty$. Esto motiva la siguiente

Definition

Sea $\{X_n\}_{n \in \mathbb{N}}$ una sucesión de conjuntos de puntos en S^2 . Esta sucesión tiene distancia de separación de orden óptimo (asintótico), si existe $C > 0$, independiente de n , tal que:

$$sep(X_n) = \frac{C}{n^{1/2}} + o\left(\frac{1}{n^{1/2}}\right), \quad (n \rightarrow \infty).$$

Uniforme en S^2 - Distribución asintótica

Uniforme en S^2 - Distribución asintótica

Theorem (Cai, Fan y Jiang (USA - 2013))

Dados n puntos uniformes i.i.d. en $S^2 \subset \mathbb{R}^3$, la variable aleatoria $n \text{Sep}(X_n)$ converge en distribución a $X \sim \text{Weibull}\left(\frac{1}{\sqrt{8}}, 2\right)$.

Es decir:

$$\lim_{n \rightarrow \infty} P\left(\text{Sep}(X_n) \leq \frac{\alpha}{n}\right) = F(\alpha), \quad \forall \alpha.$$

$$F(x) := \begin{cases} 1 - e^{-\frac{1}{8}x^2}, & x \geq 0 \\ 0, & x < 0 \end{cases}.$$

Uniforme en S^2 - Distribución asintótica

Theorem (Cai, Fan y Jiang (USA - 2013))

Dados n puntos uniformes i.i.d. en $S^2 \subset \mathbb{R}^3$, la variable aleatoria $n \text{Sep}(X_n)$ converge en distribución a $X \sim \text{Weibull}\left(\frac{1}{\sqrt{8}}, 2\right)$.

Es decir:

$$\lim_{n \rightarrow \infty} P\left(\text{Sep}(X_n) \leq \frac{\alpha}{n}\right) = F(\alpha), \quad \forall \alpha.$$

$$F(x) := \begin{cases} 1 - e^{-\frac{1}{8}x^2}, & x \geq 0 \\ 0, & x < 0 \end{cases}.$$

Corollary

$$\lim_{n \rightarrow \infty} P\left(\text{Sep}(X_n) > \frac{\alpha}{n}\right) = e^{-\frac{1}{8}\alpha^2} \rightarrow 1, \text{ cuando } \alpha \rightarrow 0.$$

Uniforme en S^2 - Distribución asintótica

Theorem (Cai, Fan y Jiang (USA - 2013))

Dados n puntos uniformes i.i.d. en $S^2 \subset \mathbb{R}^3$, la variable aleatoria $n\text{Sep}(X_n)$ converge en distribución a $X \sim \text{Weibull}\left(\frac{1}{\sqrt{8}}, 2\right)$.

Es decir:

$$\lim_{n \rightarrow \infty} P\left(\text{Sep}(X_n) \leq \frac{\alpha}{n}\right) = F(\alpha), \quad \forall \alpha.$$

$$F(x) := \begin{cases} 1 - e^{-\frac{1}{8}x^2}, & x \geq 0 \\ 0, & x < 0 \end{cases}.$$

Corollary

$$\lim_{n \rightarrow \infty} P\left(\text{Sep}(X_n) > \frac{\alpha}{n}\right) = e^{-\frac{1}{8}\alpha^2} \rightarrow 1, \text{ cuando } \alpha \rightarrow 0.$$

Ejemplo ($\alpha = 0.1$): $\lim_{n \rightarrow \infty} P\left(\text{Sep}(X_n) > \frac{0.1}{n}\right) = e^{-\frac{0.1^2}{8}} \simeq 0.998$.

Uniforme - Esperanza asintótica

Theorem (Brauchart, Reznikov, Saff, Sloan, Wang y Womersley (Australia, Austria y EEUU - 2018))

X_n sucesión de puntos uniformes i.i.d. en la esfera S^2 . Se cumple:

$$\lim_{n \rightarrow \infty} E(n \text{sep}(X_n)) = C_2, \quad C_2 = \frac{\sqrt{8\pi}}{2} \simeq 2.5066.$$

Uniforme - Esperanza asintótica

Theorem (Brauchart, Reznikov, Saff, Sloan, Wang y Womersley (Australia, Austria y EEUU - 2018))

X_n sucesión de puntos uniformes i.i.d. en la esfera S^2 . Se cumple:

$$\lim_{n \rightarrow \infty} E(n \text{sep}(X_n)) = C_2, \quad C_2 = \frac{\sqrt{8\pi}}{2} \simeq 2.5066.$$

Proof.

- Trabajan con la distancia de separación geodésica.
- Equivalente a la euclideana cuando $n \rightarrow \infty$.
- “Extreme law for pairwise angles” juega un rol importante.



Uniforme - Esperanza asintótica

Theorem (Brauchart, Reznikov, Saff, Sloan, Wang y Womersley (Australia, Austria y EEUU - 2018))

X_n sucesión de puntos uniformes i.i.d. en la esfera S^2 . Se cumple:

$$\lim_{n \rightarrow \infty} E(n \text{sep}(X_n)) = C_2, \quad C_2 = \frac{\sqrt{8\pi}}{2} \simeq 2.5066.$$

Proof.

- Trabajan con la distancia de separación geodésica.
- Equivalente a la euclideana cuando $n \rightarrow \infty$.
- “Extreme law for pairwise angles” juega un rol importante.



- Orden asintótico es $\frac{1}{n}$; peor que el orden óptimo $\frac{1}{\sqrt{n}}$.
- Puntos X_n son independientes, por lo que no hay repulsión.

Distancia de separación versión conteo

Para configuraciones aleatorias con puntos **dependientes** entre sí, los resultados conocidos sobre la distancia de separación, se obtienen a través de la siguiente función:

Distancia de separación versión conteo

Para configuraciones aleatorias con puntos **dependientes** entre sí, los resultados conocidos sobre la distancia de separación, se obtienen a través de la siguiente función:

Definition (Distancia de separación versión conteo)

Cantidad de pares de puntos a distancia t o inferior:

$$G(t, X_n) := \#\{i < j / \|x_i - x_j\|_2 \leq t\}.$$

Distancia de separación versión conteo

Para configuraciones aleatorias con puntos **dependientes** entre sí, los resultados conocidos sobre la distancia de separación, se obtienen a través de la siguiente función:

Definition (Distancia de separación versión conteo)

Cantidad de pares de puntos a distancia t o inferior:

$$G(t, X_n) := \#\{i < j / \|x_i - x_j\|_2 \leq t\}.$$

Observación

- Más “manejable” que la distancia de separación, dado que no involucra a la función mínimo.
- $P(\text{sep}(X_n) > t) = P(G(t, X_n) = 0)$.
- $P(\text{sep}(X_n) \leq t) = P(G(t, X_n) \geq 1)$.

Spherical ensemble (“Conjunto Esférico”)

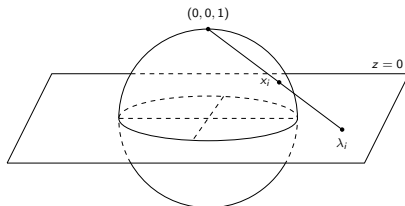
Definition (spherical ensemble - Krishnapur 2006)

Sean $A, B \in \mathbb{C}^{n \times n}$ matrices aleatorias independientes, con coeficientes complejos $N(0, 1)$ independientes:

$$A_{ij} = a + ib, \quad a, b \sim N(0, 1) \quad \text{independientes.}$$

Sean $\{\lambda_1, \dots, \lambda_n\} \subset \mathbb{C}$ los valores propios de $A_n^{-1}B_n$.

El spherical ensemble se obtiene mapeando los λ_i desde \mathbb{C} a la esfera S^2 , mediante la proyección estereográfica.



Spherical ensemble

Theorem (Alishahi y Zamani (Irán 2015))

$G\left(t = \frac{\alpha}{n^{3/4}}, X_n\right)$ converge en distribución a $X \sim \text{Poisson}\left(\frac{\alpha^4}{64}\right)$:

$$\lim_{N \rightarrow \infty} P(G(t, X_n) \leq x) = P(X \leq x), \quad \forall x \in \mathbb{R} / P \text{ continua en } x.$$

Spherical ensemble

Theorem (Alishahi y Zamani (Irán 2015))

$G\left(t = \frac{\alpha}{n^{3/4}}, X_n\right)$ converge en distribución a $X \sim \text{Poisson}\left(\frac{\alpha^4}{64}\right)$:

$$\lim_{N \rightarrow \infty} P(G(t, X_n) \leq x) = P(X \leq x), \quad \forall x \in \mathbb{R} / P \text{ continua en } x.$$

Corollary

$$\lim_{n \rightarrow \infty} P\left(\text{sep}(X_n) > \frac{\alpha}{n^{3/4}}\right) = e^{-\frac{\alpha^4}{64}}, \quad \forall \alpha > 0.$$

Spherical ensemble

Theorem (Alishahi y Zamani (Irán 2015))

$G\left(t = \frac{\alpha}{n^{3/4}}, X_n\right)$ converge en distribución a $X \sim \text{Poisson}\left(\frac{\alpha^4}{64}\right)$:

$$\lim_{N \rightarrow \infty} P(G(t, X_n) \leq x) = P(X \leq x), \quad \forall x \in \mathbb{R} / P \text{ continua en } x.$$

Corollary

$$\lim_{n \rightarrow \infty} P\left(\text{sep}(X_n) > \frac{\alpha}{n^{3/4}}\right) = e^{-\frac{\alpha^4}{64}}, \quad \forall \alpha > 0.$$

Proof.

Con $t = t_\alpha := \frac{\alpha}{n^{3/4}}$:

$$\lim_{n \rightarrow \infty} P\left(\text{sep}(X_n) > \frac{\alpha}{n^{3/4}}\right) = \lim_{n \rightarrow \infty} P(G(t_\alpha, X_n) = 0) = e^{-\frac{\alpha^4}{64}}.$$

Polinomios elípticos (Kostlan-Shub-Smale)

Definition (Polinomio elíptico de grado n)

$$p_n(z) = \sum_{k=0}^n c_k \sqrt{C_k^n} z^k, \quad c_k = a_k + ib_k, \quad a_k, b_k \sim N(0, 1), \text{ indep.}$$

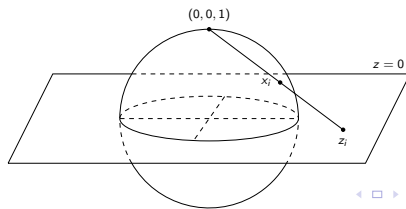
Polinomios elípticos (Kostlan-Shub-Smale)

Definition (Polinomio elíptico de grado n)

$$p_n(z) = \sum_{k=0}^n c_k \sqrt{C_k^n} z^k, \quad c_k = a_k + ib_k, \quad a_k, b_k \sim N(0, 1), \text{ indep.}$$

Definition (Ceros de polinomio elíptico (CPE))

Sean $\{z_1, \dots, z_n\}$ los ceros de un polinomio elíptico de grado n . Se define $X_n = \{x_1, \dots, x_n\}$, puntos aleatorios en S^2 , como la proyección estereográfica de los z_i desde \mathbb{C} a la esfera S^2 .



Polinomios elípticos

- No hay resultados conocidos sobre la distribución asintótica de $sep(X_n)$, ni de $G(t, X_n)$, para ningún t (a diferencia del caso Uniforme y Spherical Ensemble).

Polinomios elípticos

- No hay resultados conocidos sobre la distribución asintótica de $\text{sep}(X_n)$, ni de $G(t, X_n)$, para ningún t (a diferencia del caso Uniforme y Spherical Ensemble).
- Se conoce la $E[G(t, X_n)]$; junto con la siguiente cota y su corolario.

Theorem (de la Torre, Marzo (España 2022))

Sea X_n un conjunto de n puntos obtenidos de CPE. Se cumple:

$$E[G(t, X_n)] \leq \frac{n^3 t^4}{128}, \quad \forall t \in [0, 2], \quad \forall n \geq 2.$$

Polinomios elípticos

- No hay resultados conocidos sobre la distribución asintótica de $\text{sep}(X_n)$, ni de $G(t, X_n)$, para ningún t (a diferencia del caso Uniforme y Spherical Ensemble).
- Se conoce la $E[G(t, X_n)]$; junto con la siguiente cota y su corolario.

Theorem (de la Torre, Marzo (España 2022))

Sea X_n un conjunto de n puntos obtenidos de CPE. Se cumple:

$$E[G(t, X_n)] \leq \frac{n^3 t^4}{128}, \quad \forall t \in [0, 2], \quad \forall n \geq 2.$$

- Para probar este resultado, se expresa $G(t, X_n)$ como una suma, y se utiliza el concepto de función de 2-correlación.

Prueba

Observación

$$G(t, X_n) = \#\{i < j / \|x_i - x_j\|_2 \leq t\} = \sum_{i < j} 1_{\{\|x_i - x_j\|_2 \leq t\}};$$

donde

$$1_A := \begin{cases} 1, & x \in A \\ 0, & x \notin A \end{cases} .$$

Prueba

Definition (Función de 2-correlación en S^2)

Es una función $\rho_2 : S^2 \times S^2 \rightarrow \mathbb{R}$, tal que:

$$E \left[\sum_{i \neq j} f(x_i, x_j) \right] = \int_{S^2 \times S^2} f(p, q) \rho_2(p, q) d\sigma(p, q), \quad \forall f.$$

Prueba

Definition (Función de 2-correlación en S^2)

Es una función $\rho_2 : S^2 \times S^2 \rightarrow \mathbb{R}$, tal que:

$$E \left[\sum_{i \neq j} f(x_i, x_j) \right] = \int_{S^2 \times S^2} f(p, q) \rho_2(p, q) d\sigma(p, q), \quad \forall f.$$

Por lo tanto:

$$\begin{aligned} 2E[G(t, X_n)] &= E \left[\sum_{i \neq j} \mathbf{1}_{\{\|x_i - x_j\|_2 \leq t\}} \right] = \\ &= \int_{S^2 \times S^2} \mathbf{1}_{\{\|p - q\|_2 \leq t\}} \hat{\rho}_2(p, q) d\sigma(p, q). \end{aligned}$$

Prueba

- Por invarianza rotacional, podemos tomar $q = \hat{q} := (0, 0, -1)$:

$$2E[G(t, X_n)] = \int_{S^2} 1_{\{\|p - \hat{q}\|_2 \leq t\}} \hat{\rho}_2(p, \hat{q}) d\sigma(p).$$

Prueba

- Por invarianza rotacional, podemos tomar $q = \hat{q} := (0, 0, -1)$:

$$2E[G(t, X_n)] = \int_{S^2} 1_{\{\|p - \hat{q}\|_2 \leq t\}} \hat{\rho}_2(p, \hat{q}) d\sigma(p).$$

- Parametrizando S^2 con la proyección estereográfica, y usando que $\hat{q} := (0, 0, -1) \rightarrow (0, 0)$:

$$2E[G(t, X_n)] = \pi \int_{\mathbb{C}} 1_{\left\{ \frac{2|z|}{\sqrt{1+|z|^2}} \leq t \right\}} \rho_2(z, 0) dz = \text{cuentas (difíciles)}.$$

Prueba

- Por invarianza rotacional, podemos tomar $q = \hat{q} := (0, 0, -1)$:

$$2E[G(t, X_n)] = \int_{S^2} 1_{\{\|p - \hat{q}\|_2 \leq t\}} \hat{\rho}_2(p, \hat{q}) d\sigma(p).$$

- Parametrizando S^2 con la proyección estereográfica, y usando que $\hat{q} := (0, 0, -1) \rightarrow (0, 0)$:

$$2E[G(t, X_n)] = \pi \int_{\mathbb{C}} 1_{\left\{ \frac{2|z|}{\sqrt{1+|z|^2}} \leq t \right\}} \rho_2(z, 0) dz = \text{cuentas (difíciles)}.$$

Proposición (HKPV-2009)

La función de 2-correlación del proceso puntual CPE, es tal que:

$$\rho_2(z, 0) =$$

$$\frac{n^2 \left[\left(1 - \frac{N|z|^2}{(1+|z|^2)^{n-1}} \right)^2 (1 + |z|^2)^{n-2} + \left(1 - \frac{N|z|^2(1+|z|^2)^{n-1}}{(1+|z|^2)^{n-1}} \right)^2 \right]}{\pi^2 [(1 + |z|^2)^n - 1]}.$$

Corollary

$$P\left(\text{sep}(X_n) > \frac{\alpha}{n^{3/4}}\right) \geq 1 - \frac{\alpha^4}{128}, \quad \forall n \geq 2, \alpha > 0.$$

Corollary

$$P\left(\text{sep}(X_n) > \frac{\alpha}{n^{3/4}}\right) \geq 1 - \frac{\alpha^4}{128}, \quad \forall n \geq 2, \alpha > 0.$$

Proof.

Usando la relación entre G y $\text{sep}(X_n)$, y la desigualdad de Markov:

$$P(\text{sep}(X_n) \leq t) = P(G(t, X_n) \geq 1) \leq E[G(t, X_n)] \leq \frac{n^3 t^4}{128}.$$

En particular, tomando $t = \frac{\alpha}{n^{3/4}}$, para $\alpha > 0$, se obtiene:

$$P\left(\text{sep}(X_n) \leq \frac{\alpha}{n^{3/4}}\right) \leq \frac{\alpha^4}{128}, \quad \forall n \geq 2, \alpha \in (0, 1].$$



Corollary

$$P\left(\text{sep}(X_n) > \frac{\alpha}{n^{3/4}}\right) \geq 1 - \frac{\alpha^4}{128}, \quad \forall n \geq 2, \alpha > 0.$$

Proof.

Usando la relación entre G y $\text{sep}(X_n)$, y la desigualdad de Markov:

$$P(\text{sep}(X_n) \leq t) = P(G(t, X_n) \geq 1) \leq E[G(t, X_n)] \leq \frac{n^3 t^4}{128}.$$

En particular, tomando $t = \frac{\alpha}{n^{3/4}}$, para $\alpha > 0$, se obtiene:

$$P\left(\text{sep}(X_n) \leq \frac{\alpha}{n^{3/4}}\right) \leq \frac{\alpha^4}{128}, \quad \forall n \geq 2, \alpha \in (0, 1].$$



- El orden obtenido es $\frac{1}{n^{3/4}}$; que no es el óptimo: $\frac{1}{n^{1/2}}$.
- Pero es mejor que el de la Uniforme independiente: $\frac{1}{n}$.

Resultados numéricos

- Para cada cantidad de puntos $n \in [10 : 20 : 250]$:
 - 1 generar $k = 100$ muestras de la distribución deseada.
 - 2 calcular $sep(X_n)$ de cada muestra.
 - 3 calcular la media estadística de las k muestras.

Resultados numéricos

- Para cada cantidad de puntos $n \in [10 : 20 : 250]$:
 - ① generar $k = 100$ muestras de la distribución deseada.
 - ② calcular $sep(X_n)$ de cada muestra.
 - ③ calcular la media estadística de las k muestras.
- Ajustar (con mínimos cuadrados) la media estadística a un modelo teórico de la forma:

$$sep(X_n) = \frac{C}{n^r} \Leftrightarrow \log(sep(X_n)) = \log(C) - r \log(n).$$

Resultados numéricos

- Para cada cantidad de puntos $n \in [10 : 20 : 250]$:
 - ① generar $k = 100$ muestras de la distribución deseada.
 - ② calcular $sep(X_n)$ de cada muestra.
 - ③ calcular la media estadística de las k muestras.
- Ajustar (con mínimos cuadrados) la media estadística a un modelo teórico de la forma:

$$sep(X_n) = \frac{C}{n^r} \Leftrightarrow \log(sep(X_n)) = \log(C) - r \log(n).$$

- Interesa en particular el valor del orden r .

Resultados numéricos

- Para cada cantidad de puntos $n \in [10 : 20 : 250]$:
 - ① generar $k = 100$ muestras de la distribución deseada.
 - ② calcular $sep(X_n)$ de cada muestra.
 - ③ calcular la media estadística de las k muestras.
- Ajustar (con mínimos cuadrados) la media estadística a un modelo teórico de la forma:

$$sep(X_n) = \frac{C}{n^r} \Leftrightarrow \log(sep(X_n)) = \log(C) - r \log(n).$$

- Interesa en particular el valor del orden r .

	Uniforme	Spherical Ensemble	Ceros pol. elíp.	Óptimo
r	0.97	0.64	0.59	0.50
C	2.16	1.27	1.15	$\simeq 3.81$
tiempo	130.2 s	359.4 s	254.7 s	NC

Líneas de Trabajo

- Ceros de Polinomios Elípticos (CPE):

Líneas de Trabajo

- Ceros de Polinomios Elípticos (CPE):
 - 1 Hallar la distribución asintótica de $G(t, X_n)$:
 - CPE no es proceso determinantal
 - Buscar desigualdad alternativa a la de la prueba para el SE, que sí es determinantal (y se usa en la prueba).

Líneas de Trabajo

- Ceros de Polinomios Elípticos (CPE):
 - ① Hallar la distribución asintótica de $G(t, X_n)$:
 - CPE no es proceso determinantal
 - Buscar desigualdad alternativa a la de la prueba para el SE, que sí es determinantal (y se usa en la prueba).
 - ② Calcular (o acotar superiormente) el segundo momento de $G(t, X_n)$, para $t = \frac{\alpha}{n^{3/4}}$. Permite usar la 2a cota de Markov:

$$P(\text{sep}(X_n) \leq t) = P(G(t, X_n) \geq 1) \leq \frac{E(G(t, X_n)^2)}{1^2}.$$

Líneas de Trabajo

- Ceros de Polinomios Elípticos (CPE):
 - ① Hallar la distribución asintótica de $G(t, X_n)$:
 - CPE no es proceso determinantal
 - Buscar desigualdad alternativa a la de la prueba para el SE, que sí es determinantal (y se usa en la prueba).
 - ② Calcular (o acotar superiormente) el segundo momento de $G(t, X_n)$, para $t = \frac{\alpha}{n^{3/4}}$. Permite usar la 2a cota de Markov:

$$P(\text{sep}(X_n) \leq t) = P(G(t, X_n) \geq 1) \leq \frac{E(G(t, X_n)^2)}{1^2}.$$

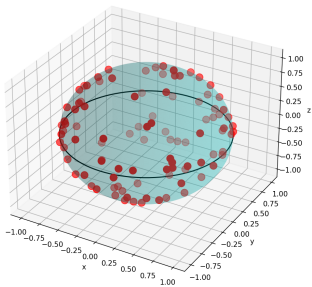
- Resultados para otras distribuciones no mencionadas, como los Armónicos Esféricos (proceso determinantal).

Líneas de Trabajo

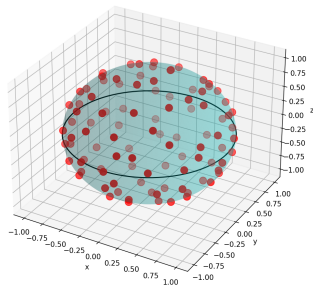
- Ceros de Polinomios Elípticos (CPE):
 - ① Hallar la distribución asintótica de $G(t, X_n)$:
 - CPE no es proceso determinantal
 - Buscar desigualdad alternativa a la de la prueba para el SE, que sí es determinantal (y se usa en la prueba).
 - ② Calcular (o acotar superiormente) el segundo momento de $G(t, X_n)$, para $t = \frac{\alpha}{n^{3/4}}$. Permite usar la 2a cota de Markov:

$$P(\text{sep}(X_n) \leq t) = P(G(t, X_n) \geq 1) \leq \frac{E(G(t, X_n)^2)}{1^2}.$$

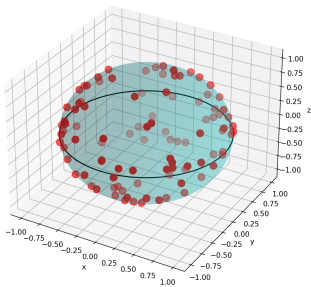
- Resultados para otras distribuciones no mencionadas, como los Armónicos Esféricos (proceso determinantal).
- Tratar directamente con la función mínimo de la definición de $\text{sep}(X_n)$ (sin pasar por $G(t, X_n)$)
- Analizar “radio de cobertura” (medida complementaria de distancia de separación). Involucra un máximo.

Distribución: uniforme - $n = 100$ 

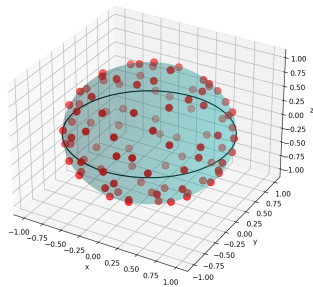
(a) Uniforme

Distribución: pol_elípticos - $n = 100$ 

(b) Ceros polinomios Elípticos

Distribución: uniforme - $n = 100$ 

(a) Uniforme

Distribución: pol_elípticos - $n = 100$ 

(b) Ceros polinomios Elípticos

Gracias